



بررسی پارامترهای مؤثر بر فرایند جذب لانتانیم و سریم از محلول‌های آبی توسط رزین تبادل یون DEHPA آغشته شده با استخراج‌کننده Amberlite XAD-۷

آزاده یاراحمدی^{۱*}، مسعود نصیری زرندی^۱، محمدحسن خانی^{۲*}

۱. دانشکده‌ی مهندسی شیمی، نفت و گاز، دانشگاه سمنان، صندوق پستی: ۱۹۱۱۱-۳۵۱۳۱، سمنان - ایران

۲. پژوهشکده‌ی چرخه سوخت هسته‌ای، پژوهشگاه علوم و فنون هسته‌ای، سازمان انرژی اتمی ایران، صندوق پستی: ۱۱۳۶۵-۸۴۸۶، تهران - ایران

*Email: mhkhani@aeoi.org.ir

مقاله‌ی پژوهشی

تاریخ دریافت مقاله: ۱۳۹۹/۱۱/۱۱ تاریخ پذیرش مقاله: ۱۴۰۰/۱/۳۰

چکیده

در این بررسی از رزین Amberlite XAD-۷ آغشته شده به استخراج‌کننده DEHPA، به عنوان جاذب برای جذب کاتیون‌های سریم و لانتانیم از محلول‌های آبی در سیستم ناپیوسته استفاده شد. شناسایی رزین آغشته شده با استفاده از آنالیز SEM و FTIR انجام شد. تأثیرات متغیرهای، مقدار جاذب، زمان و pH بر فرایند جذب دو فلز مطالعه شد. pH بهینه برای هر دو فلز برابر ۶ و زمان تماس مناسب ۱۸۰ دقیقه به دست آمد. بیش‌ترین ظرفیت جذب رزین آغشته شده برای فلز سریم و لانتانیم با استفاده از ایزوترم لانگویر به ترتیب برابر ۸.۲۸ و ۵.۵۲ میلی‌گرم بر گرم محاسبه شد. رزین آغشته شده توانایی حذف ۹۹.۹٪ سریم و ۷۸.۷۶٪ درصد از لانتانیم در شرایط بهینه، از یک محلول ۲۰۰ میلی‌گرم بر لیتر را داشت. داده‌های تعادلی با استفاده از مدل لانگوموری، فرندلیچ، تمکین، دایبنین - رادشکویچ ارزیابی شد و برهمین اساس مدل لانگوموری از سه مدل دیگر مناسب‌تر بود. نتایج حاصل از برآنش داده‌های تحریبی و مدل‌های سینتیکی نشان داد، فرایند جذب یون‌های فلزی مذکور توسط این رزین از هر دو معادله سینتیکی شبه مرتبه اول و نفوذ درون ذره‌ای پیروی می‌کند. هم‌چنین با توجه به مقادیر مشبت ΔH° و مقادیر منفی ΔG° می‌توان نتیجه گرفت فرایند جذب این عناصر، گرمائیر و خودبه خودی می‌باشد. نتایج مطالعه جذب و احتجاب در پنج سیکل نشان می‌دهد که رزین فوق از پایداری برخوردار است و تخریب آن کمتر از ۳ درصد بوده است.

کلیدواژه‌ها: جذب سطحی، عناصر نادر خاکی، سریم و لانتانیم، رزین‌های آغشته به حلال، استخراج‌کننده

Investigation of effective parameters of Lanthanum and Cerium Adsorption from Aqueous solutions using Amberlit XAD-7 resin impregnated With DEHPA

A. Yarahmadi¹, M. Nasiri Zarandi¹, M.H. Khaní^{2*}

1. Department of Chemical Engineering, Oil and Gas Engineering, Semnan University, P.O.Box: 35131-19111, Semnan - Iran

2. Nuclear Fuel Cycle Research School, Nuclear Science and Technology Research Institute, AEOI, P.O.Box:11365-8486, Tehran-Iran

Research Article

Received 30.1.2021, Accepted 19.4.2021

Abstract

In This study, an absorbent consisting of DEHPA impregnated onto Amberlite XAD-7 resin was prepared and used for the adsorption of Ce (III) and La(III) ions from aqueous solution. The absorbent (XAD-7 + DEHPA) was characterized by SEM and FTIR analysis Techniques. Several influential variables such as, contact time, pH and temperature were studied in batch mode of operation. Th results showed that the optimum adsorption condition were acjieved at pH=6, optimum amount of absorbent and the equilibrium time equal to 0.6 gr and 180 min, respectively. According to the results the adsorption percentage of cerium and lanthanum ions onto the aforementioned resin were 99.99%, 78.76% respectively. Various isotherms models such as Langmuir, Freundlich, Temkin and Dubinin-Radushkevich were used in 25°C to analyze the equilibrium isotherm data and results showed that Langmuir model had a better agreement with the experimental data. The maximum adsorption capacity of the resin for cerium and Lanthanum ions were 8.28 mg.g⁻¹, 5.52 mg.g⁻¹ respectively. The kinetic data were fitted to pesudo- frist- order, pesudo-second-order and Intra particle diffusion models. Based on the results, the pesudo- frist- order model and Intra particle diffusion model described the experimental data as well. Thermodynamic parameters of adsorption such as ΔH° , ΔS° , ΔG° were calcutated. Positive ΔH° and negative ΔG° were indicative of the endothermic and spontaneous nature of the adsorption. The aforementioned resin shows the stability during the five cycles of adsorption-desorption and it's degradation was less than 3%.

Keywords: Adsorption, Rare earth elements, Cerium and lanthanum, Solvent impregnated resins, Extractor

Journal of Nuclear Science and Technology

Vol. 100, No 3, 2022, P 103-113

مجله علوم و فنون هسته‌ای

جلد ۱۰۰، شماره ۲، تابستان ۱۴۰۱، ص ۱۰۳-۱۱۳



۱. مقدمه

[۸] Cyanex^{۳۰۲} Amberlite XAD-۴ فرایند جذب لانتانیم و سریم با استفاده از calix[۴] arene-o-vanillinsemicarbazone روی یک رزین Merrifield peptide [۹]، جذب و پیش‌تغییط La و Ce از نمونه‌های زمین‌شناسی طبیعی با رزین Azo resorcin calixpyrrole Amberlite XAD-۲ [۱۰]، مطالعه حذف لانتانیم و گادولینیم از محیط نیترات با استفاده از آمبرلیت XAD-۴ آغشته به استخراج‌کننده Aliquat^{۳۳۶} [۱۱]، بررسی رفتار جذب عناصر نادر خاکی XAD-۷ (La, Pr, Nd, Sm, Eu, Gd) با استفاده از سبک آغشته شده با Cyanex^{۲۷۲} از محلول نیتریک اسید در سیستم ناپیوسته [۱۲] اشاره نمود.

رزین‌های ماکромتلخلل پلیمری همچون Amberlite XAD-۷ و Amberlite XAD-۴ به دلیل داشتن خواص کلیدی از جمله تخلخل فراوان و دائمی، مقاومت مکانیکی زیاد و تورم نسبتاً کم آن‌ها در طی فرایند آغشته‌سازی، می‌توانند مقدار زیاد استخراج‌کننده را در خود جای دهند [۱۳، ۱۴].

هم‌چنین برای بازیابی عناصر نادر خاکی در پژوهش‌های قبل انواع استخراج‌کننده‌های ارگانوفسفراسید استفاده شده است از جمله این گروه از استخراج‌کننده‌ها، دی-۲-اتیل هگزیل فسفیریک اسید (DEHPA)، دی(۲-و۴-و۶-تری متیل پنتیل فسفونیک اسید (Cyanex^{۲۷۲})، دی(۲-اتیل هگزیل) دی‌تیوففسفریک اسید (DEHTPA)، دی-۲-اتیل هگزیل فسفونیک اسید مونو-۲-اتیل هگزیل استر (HEHEHP)، دی-۲-و۴-و۶-تری متیل پنتیل-مونوتیوففسفریک اسید (Cyanex^{۳۰۲}) می‌باشد [۱۵-۱۸].

در این پژوهش به منظور افزایش درصد و میزان جذب، رزین XAD-۷ Amberlite با استفاده از استخراج‌کننده SIR برای DEHPA آغشته‌سازی گردید و سپس کارآیی این اولین‌بار در جذب یون‌های سریم و لانتانیم به صورت همزمان مورد ارزیابی قرار گرفت هم‌چنین بررسی تأثیرات عوامل مؤثر بر فرایند جذب این دو فلز و مطالعات سینتیکی و ترمودینامیکی و رسم ایزوتوپ‌ها صورت گرفت.

۲. مواد و روش پژوهش

۱.۲ مواد و دستگاه‌های مورد استفاده

مواد استفاده شده در این پژوهش شامل Ce(NO_۳)_۳.۶H_۲O (با جرم مولکولی ۴۳۴/۲۳ گرم بر مول)، La(NO_۳)_۳.۶H_۲O (جرم مولکولی ۴۳۳/۰۲ گرم بر مول) و رزین Amberlite XAD-۷ مخصوصات شرکت Fluka، هم‌چنین

لانتانیدها که به آن‌ها عناصر نادر خاکی^۱ (REE) نیز اطلاق می‌شود عناصرهای ۵۷ تا ۷۱ جدول تناوبی را تشکیل می‌دهند. نام این عناصر از عنصر لانتانیم (La, ۵۷) گرفته شده است. خواص فیزیکو شیمیایی منحصر به فرد عناصر نادر خاکی سبب شده تا در صنایع مختلف از جمله: پتروشیمی، سرامیک‌سازی، کشاورزی، الکترونیک، توربین‌های بادی، مواد دارویی، متالوژی و ... دارای کاربردهای وسیعی باشند. این عناصر دارای خواص فیزیکی و شیمیایی بسیار مشابه هستند به همین دلیل بازیابی آن‌ها از یکدیگر کار دشواری است [۱-۳].

استخراج و جداسازی لانتانیدها از یکدیگر به دلیل خواص فیزیکی و شیمیایی بسیار مشابه‌شان کار دشواری است، رسوب دهی شیمیایی، کروماتوگرافی مایع، استخراج حلالی، و تبادل یونی از جمله روش‌هایی است که برای بازیابی عناصر نادر خاکی مورد استفاده قرار می‌گیرند [۴].

در حال حاضر استخراج حلالی یکی از مهم‌ترین روش‌های صنعتی، جداسازی و بازیافت این فلزات از جمله Ce و La می‌باشد، از معایب این روش تولید زیاد ضایعات ثانویه بهویشه در مقداری کم یون‌های فلزی (گرم یا میلی‌گرم)، هم‌چنین از بین رفتن استخراج‌کننده و نفوذ آن به فاز آبی است. روش تبادل یون در مقایسه با روش استخراج حلالی روشی بسیار ساده‌تر می‌باشد اگرچه اشکالاتی همچون انتخاب‌پذیری کم یون‌های فلزی، جذب پایین عناصر و هم‌چنین بالا بودن قیمت رزین‌ها بر آن وارد است. استفاده از استخراج‌کننده‌های آلی متفاوت در ساختار بستر رزین، به عنوان روشی کارا و مؤثر برای جذب انتخابی یون‌های فلزی از محلول‌های آبی به حساب می‌آیند [۵-۷].

در این مطالعه فرایند جذب سریم (Ce) و لانتانیم (La) توسط رزین‌های آغشته به حلال استخراج‌کننده (SIR)^۲ از محلول‌های آبی بررسی شد. این نوع سیستم ترکیبی از خصوصیات تبادل یونی و استخراج حلالی را دارد. (SIR)ها می‌توانند به عنوان جایگزینی با انتخاب‌پذیری بالا هنگام جذب، برای روش‌های دیگر جداسازی این عناصر باشند، از مزایای دیگر این روش آماده‌سازی ساده و سریع (SIR)، ظرفیت جذب بالا، پایداری فیزیکی و شیمیایی مناسب و امکان بازیابی مجدد رزین می‌باشد.

پژوهش‌های زیادی روی فرایند جذب عناصر نادر خاکی با استفاده از رزین آغشته به حلال استخراج‌کننده انجام شده است که از جمله آن‌ها می‌توان به جذب انتخابی Ce و La از محلول ساختگی حاوی یون‌های فلزی با استفاده از رزین

1. Rare Earth Elements
2. Solvent Impregnated Resin



اولیه بر فرایند جذب در محدوده ۵۰ تا ۲۵۰ میلی‌گرم بر لیتر بررسی و درصد جذب و میزان جذب شان محاسبه شد. آزمایش های ناپیوسته در ظروف پلی‌اتیلنی ۱۰۰ میلی‌لیتری حاوی ۰۳۵ گرم جاذب و ۲۰ میلی‌لیتر محلول یون‌های فلزی مورد نظر با غلظت مشخص در دمای ۲۵ درجه سانتی‌گراد و دور شیکر ۲۰۰ دور بر دقیقه انجام شد.

درصد جذب و میزان جذب به ترتیب از معادلات زیر محاسبه می‌شوند.

$$\%A_{\text{dsorption}} = \frac{C_i - C_e}{C_i} \times 100 \quad (1)$$

$$qe = \frac{C_i - C_e}{M} \times V \quad (2)$$

غلظت اولیه و تعادلی در معادلات فوق به ترتیب با C_i و C_e بر حسب $V \text{ mg.Lit}^{-1}$ حجم محلول بر حسب لیتر و M جرم جاذب خشک بر حسب گرم می‌باشد.

۳. نتایج و بحث

آزمایش‌های مقدماتی انجام شده برای جذب سریم و لانتانیم با استفاده از Amberlite XAD-۷ DEHPA در غیاب استخراج کننده DEHPA نشان داد که میزان جذب سریم و لانتانیم بر روی رزین بسیار اندازه‌گیری می‌باشد. برای بررسی تأثیر استخراج کننده DEHPA پس از فرایند آغشته‌سازی بر میزان جذب رزین ۲۰۰ چندین آزمایش جذب در شرایط کاملاً مشابه با غلظت ۲۰۰ میلی‌گرم بر لیتر (غلظت عناصر نادر خاکی موجود در کانسینگ‌ها طبیعی در حدود ۲۰۰ میلی‌گرم بر لیتر می‌باشد)، pH=۵ و دمای ۲۵ درجه سانتی‌گراد با مقدار ۰/۴ گرم از هر دو نوع رزین Amberlite XAD-۷ قبل و پس از آغشته‌سازی با استخراج کننده DEHPA به مدت ۲۴ ساعت انجام شد. نتایج در جدول ۱ نشان داده شده است.

با توجه به نتایج ارایه شده در جدول ۱ میزان جذب فلزات پس از آغشته‌سازی رزین توسط استخراج کننده DEHPA افزایش یافته و همین امر بیان‌گر تأثیر مثبت آغشته‌سازی رزین با استفاده از استخراج کننده DEHPA در فرایند جذب سریم و لانتانیم می‌باشد.

جدول ۱. بررسی نقش استخراج کننده DEHPA بر فرایند جذب

%AD La	%AD Ce	رزین
۲۱/۹۳	۲۵/۷۵	Amberlite XAD-۷
۵۵/۸۶	۸۳/۰۴	Amberlite XAD-۷+DEHPA

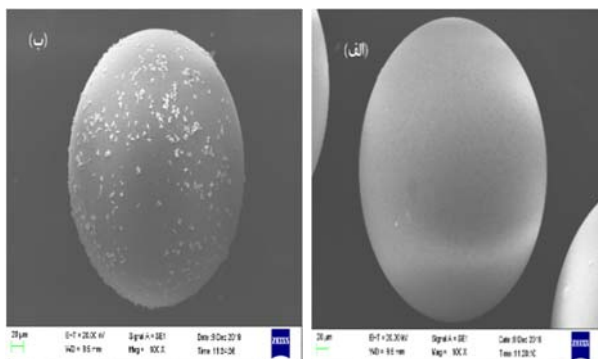
استخراج کننده DEHPA تولوئن ($\text{C}_6\text{H}_5\text{CH}_3$) سدیم هیدروکسید NaOH، نیتریک اسید HNO_3 (۰/۶۵٪) که همگی محصولات شرکت Merck هستند استفاده شد. رزین ۷ Amberlite XAD-۷ آغشته شده به استخراج کننده DEHPA با استفاده از دستگاه‌های اسپکتروفوتومتر مادون قرمز PerkinElmer Spectrum، ۱۰۰۳.۰۶ (FTIR) مدل اسپکترومتر اتمی پلاسمای ایکس (EDX) مدل Rontech ساخت کشور آلمان تعیین ساختار شد. از pH متر مدل ۷۸۰ ساخت کشور سوئیس برای تعیین محلول و برای اندازه‌گیری غلظت محلول یون‌های سریم (ICP) مدل optima، ۷۳۰ Dv ساخت کشور آمریکا با طول موج‌های ۳۷۹/۴۷۸ و ۴۱۳/۷۶۴ نانومتر استفاده شد و همچنین با استفاده از شیکر مدل Gallenkamp ساخت کشور ایتالیا تماس رزین و محلول یون‌ها انجام گرفت.

۲۰.۲ روش تهیه و آماده‌سازی رزین

ابتدا مقدار ۲۰ گرم رزین XAD-۷ Amberlite را چندین بار با آب مقطر شست و شو داده و سپس از صافی عبور داده و پس از آن به مدت ۴۸ ساعت در دمای محیط قرار داده تا کاملاً خشک گردد و پس از آن برای افزایش بهره‌وری و میزان جذب رزین، ۱۵ گرم از رزین خشک شده را درون ۳۰ میلی‌لیتر از استخراج کننده DEHPA که با استفاده از تولوئن رقیق شده ریخته و به مدت دو ساعت در دمای محیط بر روی همزن قرار داده شد تا فرایند آغشته‌سازی انجام شود، پس از آن دانه‌های رزین را از فاز آبی جدا نموده و با کلریدریک اسید ۲ مولار چندین بار شست و شو داده شد تا محلول زیر صافی پاسخی به اسپکتروفوتومتر ندهد و سپس دانه‌های رزین را با آب مقطر آبکشی نموده و مدت ۴۸ ساعت در دمای محیط قرار داده شد تا کامل خشک گردد.

۲۰.۲ بررسی فرایند جذب یون‌های سریم و لانتانیم در سیستم ناپیوسته فرایند جذب سریم و لانتانیم از محلول‌های آبی با استفاده از رزین ۷ Amberlite XAD-۷ آغشته شده به استخراج کننده DEHPA در روش ناپیوسته به صورت تابعی از زمان تماس، pH، مقدار گرم رزین آغشته شده، غلظت اولیه محلول یون‌های سریم و لانتانیم مورد بررسی قرار گرفت. برای بررسی تأثیرات زمان تماس، آزمایش‌هایی در زمان‌های ۵، ۲۰، ۴۰، ۶۰، ۱۲۰، ۱۸۰، ۲۰۰، ۲۴۰ دقیقه صورت پذیرفت. اثر pH در بازه ۲ تا ۶ بررسی شد و pH محلول، توسط نیتریک اسید HNO_3 و محلول سدیم هیدروکسید NaOH تنظیم شد. تأثیرات غلظت



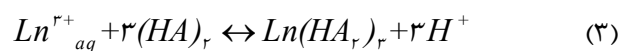


شکل ۲. تصویر میکروسکوپ الکترونی روبشی (SEM)، (الف) سطح بیرونی رزین Amberlite XAD-۷، (ب) سطح بیرونی رزین Amberlite XAD-۷ آغشته شده به استخراج کننده DEHPA.

۲.۳ تأثیر pH اولیه محلول بر فرایند جذب سریم و لانتانیم از مهم‌ترین پارامترهای مؤثر بر فرایند جذب pH می‌باشد. استخراج کننده استفاده شده برای آغشته‌سازی رزین یک استخراج کننده اسیدی می‌باشد و در طی فرایند جذب H⁺ زاد می‌کند بنابراین اسیدی بودن محلول فلزات در فرایند جذب رزین‌های آغشته به حلال بسیار مؤثر است. شکل ۳ نشان دهنده تغییرات درصد جذب دو عنصر در pH‌های متفاوت است، با توجه به تغییرات pH، ماکریتم درصد جذب در pH‌های بالاتر از ۴ مشاهده می‌گردد. دلیل افزایش درصد جذب با افزایش pH را چنین می‌توان توجیه کرد که با افزایش pH محلول، میزان پروتون [H⁺] در محلول کاهش یافته و رقابت بین یون‌های فلزی و پروتون برای برقراری پیوند با سایت‌های رزین کمتر می‌گردد در نتیجه یون‌های فلزی راحت‌تر جذب شده و این امر موجب افزایش درصد جذب فلزات سریم و لانتانیم می‌گردد [۱۹]. در pH بالاتر از ۶ نیز نمک‌های سریم و لانتانیم رسوب می‌کنند، و در pH‌های پایین نزدیک به ۲ میزان درصد جذب عناصر کم است. بنابراین pH=۶ به عنوان مناسب‌ترین pH برای انجام آزمایش‌های جذب هم‌زمان دو فلز انتخاب شد. آزمایش‌های بعدی در pH=۶ صورت گرفت.

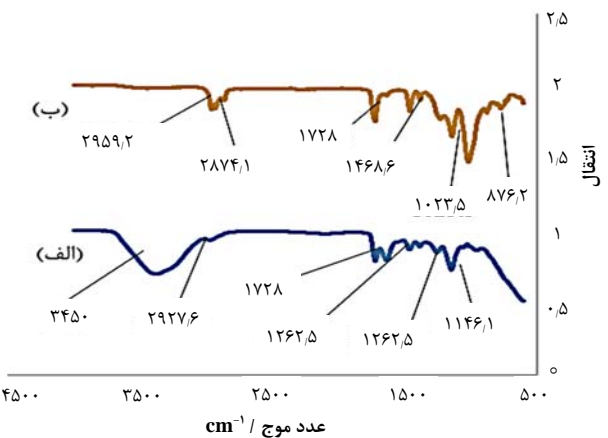
۳.۳ تأثیر زمان تماس بر فرایند جذب سریم و لانتانیم در شکل ۴ روند تأثیر زمان تماس بر فرایند درصد جذب و میزان جذب سریم و لانتانیم توسط رزین Amberlite XAD-۷ در دمای ۲۵ درجه سانتی‌گراد و pH بهینه نشان داده شده است. درصد جذب با افزایش زمان تماس زیاد می‌گردد و پس از اشغال شدن تمامی سایت‌های پیوندی رزین سرعت فرایند جذب کاهش می‌یابد و در نهایت به تعادل می‌رسد. نتایج بدست آمده نشان می‌دهد که فرایند جذب دو عنصر سریم و لانتانیم پس از ۱۸۰ دقیقه به تعادل می‌رسد، به همین دلیل زمان ۱۸۰ دقیقه برای انجام واکنش هر دو عنصر سریم و لانتانیم توسط رزین

مکانسیم جذب Ce(III) و La(III) با استفاده از رزین DEHPA Amberlite XAD-۷ آغشته شده به استخراج کننده HA می‌تواند با استفاده از معادله (۳) بیان شود.



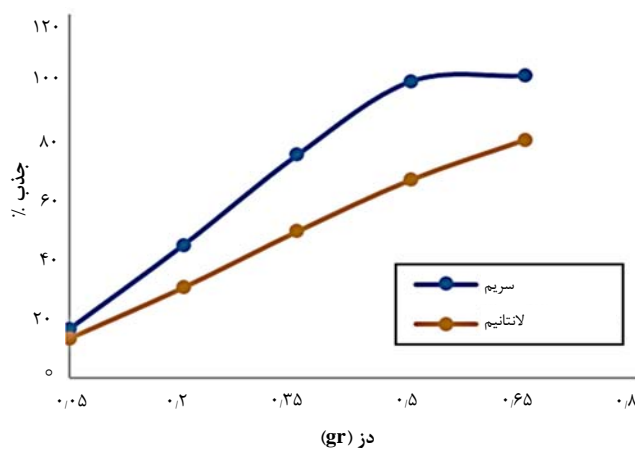
۱۰.۳ خصوصیات رزین آغشته شده FTIR مربوط به رزین Amberlite XAD-۷ قبل و بعد از آغشته شدن به استخراج کننده DEHPA در شکل ۱ نشان داده شده است. محدوده این طیف‌ها بین ۴۰۰۰ تا ۵۰۰ سانتی‌متر می‌باشد. در این طیف‌ها پیک ۲۷۹۲ cm⁻¹ مربوط ارتعاش کششی گروه آلیفاتیک C-H ۱۴۶۸ cm⁻¹ مربوط ناشی از تغییر شکل CH_۲ به CH_۳ می‌باشد. پیک ۱۷۲۸ cm⁻¹ مطابق با کشش فرکانسی C=O می‌باشد. طیف‌های ۱۲۶۲ cm⁻¹ و ۱۱۴۶ cm⁻¹ مطابق با کشش C-O در استر می‌باشد. پیک‌های متقارن و نامتقارن CH_۲ ۲۸۷۴ cm⁻¹ و ۲۹۵۹ cm⁻¹ مربوط به Hستند محدوده (۷۵۰ تا ۸۳۰) پیک‌های متقارن آلیفاتیک مربوط به پیوند P-O-C و محدوده (۹۵۰ تا ۱۰۵۰) cm⁻¹ مربوط به پیک‌های نامتقارن آلیفاتیک P-O-C می‌باشد. که این پیوندهای حاصل شده روی رزین در پیک‌های ۸۷۶ cm⁻¹ و ۱۰۲۳ cm⁻¹ مشاهده می‌شوند و نشان دهنده بارورسازی موفق رزین توسط استخراج کننده DEHPA می‌باشد. همچنین پیک ۳۴۵۰ cm⁻¹ منسوب به OH ناشی از وجود آب موجود در رزین Amberlit xad-۷ می‌باشد.

شکل ۲ تصاویر SEM مربوط به سطح بیرونی رزین Amberlite قبل و بعد از آغشته شدن می‌باشد. با توجه به تصاویر مربوط به سطح بیرونی رزین‌ها، هیچ شکاف و شکستگی پس از آغشته‌سازی رزین مشاهده نمی‌شود و همچنین رزین در ابتدا شفاف بوده است و پس از آغشته‌سازی کدر می‌گردد که این تغییر بیان گر فرایند آغشته‌سازی رزین می‌باشد [۱۲].



شکل ۱. طیف FTIR، (الف) رزین Amberlite XAD-۷، (ب) رزین Amberlite XAD-۷ آغشته شده به استخراج کننده DEHPA.





شکل ۵. تأثیر تغییرات مقدار رزین بر میزان جذب سریم و لانتانیم با استفاده از رزین Amberlite XAD-۷ آغشته شده به pH=۶ DEHPA از زمان تماس ۱۸۰ دقیقه، دما 25°C ، غلظت اولیه یون‌های فلزی 200 mg/L .

۵.۳ بررسی سینتیک جذب عناصر سریم و لانتانیم بررسی سینتیک فرایند جذب سطحی، اطلاعاتی درباره‌ی مرحله یا مراحل کنترل کننده سرعت انجام یک واکنش شیمیایی در اختیار ما قرار می‌دهد. به همین منظور داده‌های سینتیکی جذب سریم و لانتانیم توسط رزین مذکور، با استفاده از سه مدل سینتیکی، شبه مرتبه اول، شبه مرتبه دوم و مدل نفوذ درون ذره‌ای مدل‌سازی شد.

۱۰۵.۳ مدل سینتیکی شبه مرتبه اول^۱

در این مدل مقاومت اصلی فرایند جذب، واکنش شیمیایی است و تعداد مراکز خالی جذب (نیروی محركه جذب) متناسب با شدت اشغال شدن مراکز خالی جذب به صورت خطی می‌باشد. معادله (۴) بیان‌گر این مدل سینتیکی است.

$$q_t = q_e (1 - \exp(-k_1 t)) \quad (4)$$

پس از انتگرال‌گیری و محاسبات عملیات ریاضی از رابطه (۴)، رابطه (۵) نتیجه می‌شود:

$$\log(q_e - q_t) = \log q_e - \frac{k_1 t}{2303} \quad (5)$$

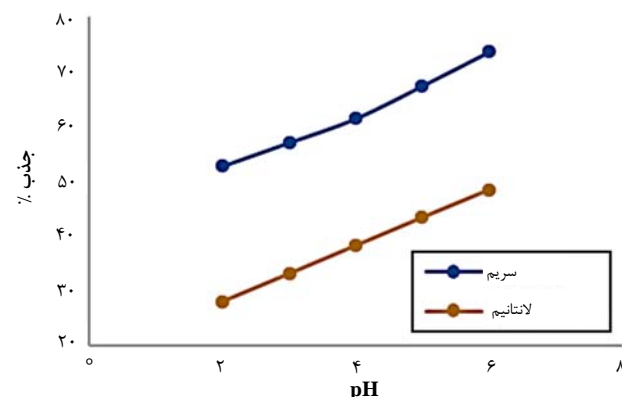
در این معادلات k_1 ثابت سرعت مدل شبه مرتبه اول می‌باشد که واحد آن می‌باشد و میزان جذب تعادلی بر واحد جرم جاذب با q_e و ظرفیت جذب جاذب برای هر عنصر در زمان t با نشان داده می‌شود و واحد آن‌ها ($\frac{\text{mg}}{\text{g}}$) است.

DEHPA-۷ Amberlite XAD-۷ آغشته شده به استخراج کننده انتخاب شد و آزمایش‌های بعدی جذب در همین زمان مورد بررسی قرار گرفت.

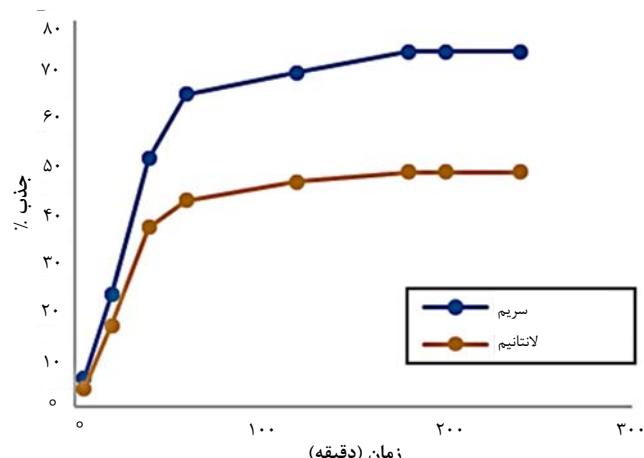
۴.۳ تأثیر مقدار رزین بر فرایند جذب سریم و لانتانیم

شکل ۵ نشان‌دهنده تأثیرات مقدار رزین بر درصد جذب دو عنصر لانتانیم و سریم می‌باشد. با افزایش مقدار رزین Amberlite XAD-۷ آغشته شده به DEHPA از ۰.۰۵ تا ۰.۶۵ گرم، درصد جذب فلزات لانتانیم و سریم افزایش می‌یابد زیرا تعداد مکان‌های جذب، قابل دسترسی زیاد می‌گردد و پس از آن راندمان جذب تقریباً ثابت است [۲۰].

با توجه به این‌که ماکریم جذب سریم و لانتانیم به ازای ۰.۶۵ گرم رزین رخ داده است مقدار بهینه رزین 0.65 g انتخاب شد.



شکل ۳. تأثیر تغییرات pH بر میزان جذب سریم و لانتانیم با استفاده از رزین Amberlite XAD-۷ آغشته شده به DEHPA (مقدار رزین 0.65 g ، زمان تماس 24 ساعت، دما 25°C ، غلظت اولیه یون‌های فلزی 200 mg/L).



شکل ۴. تأثیر زمان بر میزان جذب سریم و لانتانیم با استفاده از رزین Amberlite XAD-۷ آغشته شده به DEHPA (مقدار رزین 0.65 g ، دما 25°C ، غلظت اولیه یون‌های فلزی 200 mg/L).



جدول ۲. پارامترهای سینتیکی جذب سریم و لانتانیم با استفاده از رزین DEHPA آغشته شده به Amberlite xad-۷

لانتانیم	سریم	پارامتر	مدل سینتیکی
۵/۱۹	۸/۱۸	q_e (mg/g)	
۰/۰۰۸	۰/۰۱۱	K_1 (l/min)	مدل شبه مرتبه اول
۰/۹۹	۰/۹۹	R^*	
۲۵/۱۲	۳۰/۲۱	q_e (mg/g)	
۰/۰۰۰۴	۰/۰۰۰۵	K' (g/mg min)	مدل شبه مرتبه دوم
۰/۵۳	۰/۶۷	R^*	
۰/۴۱	۰/۶۱	K_{id} (mg/gmin ^{۱/۲})	مدل نفوذ درون ذرهای
-۱/۳۰	-۱/۹۲	C	
۰/۹۵	۰/۹۷	R^*	

۶.۳ بررسی ایزووترم جذب عناصر سریم و لانتانیم

داده‌ها و نتایج آزمایشی را می‌توان با استفاده از مدل‌های ایزووترم به فرمول‌های پرکاربرد یا پارامترهای قابل استفاده تغییر داد. بنابراین داده‌های تعادلی جذب سریم و لانتانیم با استفاده از DEHPA XAD-۷ آغشته شده به استخراج‌کننده DEHPA Amberlite XAD-۷ با استفاده از چهار مدل، لانگمویر، فرندلیچ، دابینین- رادشکویچ و تمکین به صورت خطی مدل‌سازی شد.

۶.۴ مدل ایزووترم لانگمویر^۳

با استفاده از ایزووترم لانگمویر، جذب تعادلی روی سطوح همگن بررسی می‌گردد. این ایزووترم برای سطح جاذب پوششی تک لایه در نظر گرفته می‌شود و بین مولکول‌های جذب‌شونده هیچ فعل و انفعالی قائل نمی‌شود. فرض ایزووترم لانگمویر براین پایه است که به هر یک از مولکول‌های جذب‌شونده فقط یک سایت تعلق می‌گیرد و هر برهم‌کنشی میان مولکول‌های بعدی متاثر از جذب مولکول‌های اولیه نمی‌باشد. رابطه (۸) فرم خطی مدل لانگمویر را نمایش می‌دهد.

$$\frac{1}{q_e} = \frac{1}{q_m} + \frac{1}{k_L q_m} \cdot \frac{1}{c_e} \quad (8)$$

با توجه به رابطه (۸)، c_e (mg.L^{-۱})، q_e (mg.g^{-۱}) غلظت‌های جذب‌شونده و میزان جذب تعادلی را به ترتیب مشخص می‌کنند. حداکثر میزان جذب تک لایه و انرژی جذب به ترتیب با ثابت لانگمویر (۸)، q_m (mg.g^{-۱})، k_L (L.mg^{-۱}) مرتبط می‌گردند. مقدار پارامتر (۸) K_L (L.mg^{-۱}) نشان‌گر میزان جذب میان جذب‌شونده و جاذب است [۲۵].

$$R_L = \frac{1}{1 + k_L c_e} \quad (9)$$

۲.۵.۳ مدل سینتیکی شبه مرتبه دوم^۱

در این مدل نیز مقاومت اصلی در مقابل فرایند جذب، واکنش شیمیایی می‌باشد تنها تفاوت این مدل با مدل شبه مرتبه اول شدت اشغال شدن مراکز جذب است که متناسب با مربع تعداد مراکز خالی جاذب است. معادله (۶) فرم کاربردی و خطی این مدل می‌باشد.

$$\frac{t}{q_t} = \frac{1}{k'_1 q_e^*} + \frac{1}{q_e} t \quad (6)$$

ثابت سرعت مدل شبه مرتبه دوم با واحد $\frac{g}{(mg \cdot min)}$ است میزان جذب تعادلی بر واحد جرم جاذب با q_e و ظرفیت جذب جاذب برای عناصر در زمان t با q_t نشان داده می‌شود و واحد آن‌ها $\frac{mg}{g}$ است [۲۱، ۲۲].

۳.۵.۳ مدل سینتیکی نفوذ درون‌ذرهای^۲

طبق مدل نفوذ درون‌ذرهای مرحله کننده سرعت، نفوذ به مراکز داخلی جاذب است در فرایند جذب مهم‌ترین مقاومت در اکثر زمان‌ها، همان نفوذ داخلی است رابطه (۷) نشان‌دهنده مدل سینتیکی نفوذ درون‌ذرهای است. k_{id} بر حسب $\frac{mg}{g \cdot min^{1/2}}$ و c در رابطه بالا به ترتیب ثابت مدل نفوذ درون‌ذرهای و ضخامت لایه مرزی می‌باشد [۲۳، ۲۴].

$$q_t = k_{id} t^{1/2} + c \quad (7)$$

پارامترها و ثابت هر یک از مدل‌های سینتیکی، با ترسیم بهترین خط عبوری از نمودارها و همچنین تعیین نمودن شیب خط و عرض از مبدأ نمودار به دست آمدند. طبق جدول ۲ با $Ln(q_e - q_t)$ و خطی بودن نمودار q_t بر حسب $t^{1/2}$ برای جذب یون‌های لانتانیم و سریم با استفاده از رزین XAD-۷ آغشته شده به استخراج‌کننده DEHPA می‌توان به این نتیجه رسید که فرایند جذب یون‌های فلزی مذکور توسط این رزین از هر دو معادله سینتیکی شبه درجه اول و نفوذ درون‌ذرهای پیروی می‌کند و این امر نشان‌دهنده این است که واکنش شیمیایی و نفوذ به مراکز داخلی جاذب (نفوذ داخلی) هر دو مراحل تعیین‌کننده سرعت واکنش می‌باشد.

1. The Pesudo Second-Order Model
2. Intra Particle Diffusion



در این معادله، R ثابت جهانی گازها برابر $8/314 \text{ (j.mol}^{\circ}\text{k)}$ و T دمای مطلق بر حسب کلوین می‌باشند. پارامتر E نشان‌دهنده تغییر انرژی آزاد بر حسب کیلوژول بر مول می‌باشد که برای انتقال یک مول جذب‌شونده از فاصله بی‌نهایت در محلول به سطح جاذب نیاز است، پارامتر E را می‌توان به کمک رابطه (۱۳) به دست آورد.

$$E = \frac{1}{\sqrt{2B_{DR}}} \quad (13)$$

جذب فیزیکی زمانی رخ می‌دهد که E کوچک‌تر از ۸ باشد و سازوکار غالب می‌باشد، برای مقادیر E بین ۸ تا ۱۶ جذب شیمیایی و تبادل یون سازوکار غالب می‌باشد [۲۸، ۲۹]. مقدار انرژی آزاد جذب (E) برای هر دو عنصر سریم و لانتانیم محاسبه گردید و در جدول ۳، نمایش داده شده است.

۴.۶.۳ مدل ایزوترم تمکین*

ایزوترم دو پارامتری دیگری که برای جذب تک‌جزی قابل استفاده است ایزوترم تمکین می‌باشد فرض این ایزوترم براین پایه است که کاهش گرمای جذب به صورت خطی زمانی رخ می‌دهد که میزان جذب، افزایش بیابد. ایزوترم تمکین با رابطه (۱۴) نشان داده می‌شود.

$$q_e = \frac{RT}{b_T} \ln(k_T c_e) \quad (14)$$

در رابطه (۱۴)، b_T و k_T ثوابت ایزوترم تمکین که به ترتیب گرمای جذب و حداکثر انرژی پیوند می‌باشند. R ثابت جهانی گازها $8/314 \text{ (j.mol}^{\circ}\text{k}^{-1})$ و T دمای مطلق براساس کلوین است [۲۱، ۳۰].

ضرایب همبستگی و ثابت‌های جذب یون‌های سریم و لانتانیم با استفاده از ایزوترمهای تعادلی لانگمویر، فرندلیچ، دابینین-رادشکویچ و تمکین برای سریم و لانتانیم در جدول ۴ نمایش داده شده است.

با مقایسه میزان خطی بودن چهار ایزوترم جذب، بهترین ایزوترم برای جذب یون‌های سریم و لانتانیم با استفاده از رزین DEHPA XAD-۷ آغشته شده به استخراج کننده Amberlite ایزوترم لانگمویر می‌باشد. پذیرش این ایزوترم به عنوان مدل جذبی برای هر دو یون، به مفهوم توزیع یکنواخت یون‌های فلزی استخراج شده روی سطح دانه‌های رزین و همچنین تشکیل پوشش تک‌لایه یون‌ها روی سطح رزین‌های بارور شده است.

پارامتر بدون بعد R_L برای بررسی مطلوب جذب سطحی تعریف شده است این پارامتر، پارامتر تعادلی نیز نامیده می‌شود. حداکثر مقدار غلظت اولیه جزء جذب شده بر حسب میلی‌گرم بر لیتر است. به طوری که اگر R_L عددی بزرگ‌تر از یک باشد نشان دهنده جذب نامطلوب و یک ایزووترم خطی، و اگر مقدار R_L کم‌تر از یک باشد جذب مطلوب و R_L برابر صفر برای جذب برگشت‌ناپذیر تعریف شده است [۲۶].

۴.۶.۴ مدل ایزووترم فرندلیچ^۱

این ایزووترم برای فرایند جذب بر روی سطوح ناهمگن معرفی شد. فرض این ایزووترم برآن است که میزان تمایل مراکز جذب، موجود در سطح جاذب متفاوت بوده و مراکز جذب مستحکم‌تر، پیش از بقیه سایتها پر می‌گردند. کاربرد این ایزووترم تنها در محدوده غلظتی پایین تا متوسط می‌باشد و به همین دلیل حداکثر میزان جذب را نمی‌تواند محاسبه کند. رابطه (۱۰) بیان گر فرم خطی این ایزووترم است در این رابطه K_f بر حسب (mg.g^{-1}) بیان گر ثابت فرندلیچ و با میزان ظرفیت جذب مرتبط است و ثابت بدون بعد فرندلیچ n با استحکام پیوند مرتبط است. n نشان‌دهنده میزان نیروی جاذبه میان جاذب و جذب‌شونده است و مقداری بین صفر و یک دارد و با افزایش n نیروهای جاذب قوی‌تر خواهد بود [۲۷].

$$\ln(q_e) = \ln(k_f) + \frac{1}{n} \ln(c_e) \quad (10)$$

۴.۶.۵ مدل ایزووترم دابینین-رادشکویچ (D-R)

این ایزووترم در هر دو نوع سطح همگن و غیرهمگن به توصیف فرایند جذب می‌پردازد و عمدها در محدوده غلظت‌های پایین برقرار است. توانایی تعیین حداکثری میزان جذب و سازوکار واکنش از مزیت‌های این ایزووترم است. این در حالی است که ایزووترم لانگمویر فقط قادر به تعیین حداکثر میزان جذب است. ایزووترم D-R با رابطه خطی (۱۱) نشان داده می‌شود.

$$\ln(q_e) = \ln q_{DR} - B_{DR} \varepsilon^\gamma \quad (11)$$

در رابطه بالا، B_{DR} مربوط به انرژی جذب و ثابت ایزووترم بر حسب $\text{mol}^{\circ}\text{j}^{-1}$ و ε پتانسیل جذب پولانی^۲ می‌باشد و طبق رابطه (۱۲) به دست می‌آید.

$$\varepsilon = RT \ln(1 + \frac{1}{c_e}) \quad (12)$$

1. Ferundlich Isoterm
2. Dubinin-Redushkevich Isoterm
3. Polanyi



۷.۳ پارامترهای ترمودینامیکی فرایند جذب سریم و لانتانیم در فرایند جذب خود به خودی، پارامترهای ترمودینامیکی اطلاعات مهم و کاربردی درباره خودبه خودی بودن و سازوکار واکنش را می دهنند و دارای نقشی اساسی می باشند. برای بررسی خودبه خودی بودن یک فرایند فاکتورهای انرژی و آنتروپی بسیار حائز اهمیت می باشد. با توجه به مقدار ΔG° می توان سازوکار فرایند جذب را بررسی کرد. که با استفاده از معادلات (۱۶) و (۱۷) قابل محاسبه می باشد. رابطه (۱۵) مربوط به ثابت تعادل واکنش است، و برای محاسبه تغییرات انرژی آزاد گیبس به کار برده می شود.

$$k_c = \lim_{c_e \rightarrow 0} \frac{c_{es}}{c_{el}} \quad (15)$$

غلظت تعادلی یون فلزی بر سطح جاذب و محلول در رابطه (۱۵) با c_{es} و c_{el} بر حسب میلی گرم بر لیتر نمایش داده می شود. در دماهای متفاوت مقادیر k_c با رسم داده های تجربی $\frac{c_{es}}{c_{el}}$ بر حسب c_{el} براساس معادله (۱۵) حاصل می شود.

$$\Delta G = -RT \ln(K_C) \quad (16)$$

$$\Delta G = \Delta H - T\Delta S \quad (17)$$

میزان تمایل به بینظمی میان یون فلزی و سطح تماس جاذب با مشتبه بودن آنتروپی آن مشخص می شود. چنان چه یون فلزی روی سطح جاذب ثابت باشد و آزادی حرکت نداشته باشد از میزان آنتروپی آن کاسته می شود. یون های فلزی، در بعضی از فرایندها از جمله فرایند تبادل یونی بعد از جذب روی سطح جاذب، یون ها می توانند به درون محلول برگردند و میزان بی نظمی سیستم را افزایش دهند. رابطه (۱۸) بیان گر رابطه ترمودینامیکی وانتهوف^۱ می باشد.

$$\ln(k_c) = \frac{\Delta S^\circ}{R} - \frac{\Delta H^\circ}{R} \cdot \frac{1}{T} \quad (18)$$

با ترسیم $\ln(k_c)$ بر حسب $\frac{1}{T}$ و به دست آوردن نمودار آن، قادر به محاسبه پارامترهای ترمودینامیکی خواهیم بود. مطابق با رابطه (۱۸) با کمک شیب خط می توان تغییرات آنتالپی استاندارد^۲ فرایند جذب و با استفاده از عرض از مبدأ نمودار وانتهوف، آنتروپی استاندارد جذب (ΔS°) قابل محاسبه می باشند.

بیشینه ظرفیت جذب برای فلزات سریم و لانتانیم به ترتیب برابر $5/52 \text{ mg.g}^{-1}$ و $8/28 \text{ mg.g}^{-1}$ می باشد.

در جدول ۵ مقایسه ظرفیت جذب بیشینه سریم و لانتانیم در مطالعه حاضر با پژوهش های پیشین نمایش داده شده است. با توجه به این نتایج، مقادیر به دست آمده در این مطالعه، در محدوده ظرفیت جذب بیشینه به دست آمده به وسیله دیگر پژوهش گران برای جذب سریم و لانتانیم است.

جدول ۳. مقدار انرژی فعال سازی برای فلزات سریم و لانتانیم با استفاده از DEHPA رزین-۷ Amberlite XAD-۷ آغشته شده به

یون فلزی	مقادیر انرژی فعال سازی (KJ/mol)
سریم	۲/۷۸
لانتانیم	۲/۹۲

جدول ۴. مقادیر ثابت و ضرایب همبستگی ایزوترم های جذب لانگمویر، فرندلیچ، تمکین و D-R با استفاده از رزین-۷ Amberlite XAD-۷ آغشته شده به DEHPA

ایزوترم جذب	پارامتر	سریم	لانگمویر
$5/52$	$8/28$	$q_m(\text{mg/g})$	
$۳/۳۱$	$۲/۰۳۵$	$K_L(\text{L/mol})$	
$۰/۰۰۱$	$۰/۰۰۱$	R_L	
$۰/۹۹$	$۰/۹۹$	R^*	
$۹/۸۴$	$۵/۷۷$	n	
$۱/۷۴$	$۱/۸۶$	$K_f(\text{mg/g}).(1/\text{mg})^{1/n}$	فرندلیچ
$۰/۸۹$	$۰/۸۶$	R^*	
$۵۷۸۷/۳۷$	$۲۶۸۳/۰۹$	$b_T(\text{J/mol})$	
$۵۶۸۱/۳۴$	$۱۵۵/۳۷$	$K_T(\text{L/mol})$	تمکین
$۰/۹۱$	$۰/۹۳$	R^*	
$۵/۴۶$	$۷/۸۷$	$q_{DR}(\text{mmol/g})$	دایینین-
$۰/۰۵۶$	$۰/۰۶۵$	$B_{DR}(\text{mol}^1/\text{J}^*)$	رادشکویچ
$۰/۹۸$	$۰/۹۵$	R^*	

جدول ۵. مقایسه ظرفیت جذب سریم و لانتانیم با جاذب های متفاوت

جاذب	ظرفیت جذب (mg.g ⁻¹)	La(III)	Ce(III)
calix[4]arene-semicarbazone-merrifield's peptide resin[11]	$1/۸۷$	$1/۴۴$	
Phosphonic acid, Amberlit XAD-4-(o-vanillinsemicarbazone)[16]	$0/۲۳$	$0/۲۴$	
Polyethylenimine methylene phosphonic acid-merrifield resin[5]	$1/۲۱$	----	
calix[4]arene-o-vanillinsemicarbazone-merrifield resin[9]	$2/۵۱$	$2/۸۲$	
Cyanex- 272- Amberlite XAD-7[17]	$5/۴۳$	----	
Aliquat-336-Amberlite XAD-4[8]	$0/۴۷$	----	
calix[4]resorcinarene octa-o-methoxy resorcin[4]arene Amberlite XAD-4 polymeric chelating resin[24]	$8/۴۶$	$8/۶۴$	
Amberlite-XAD-16-octa carboxymethyl-c-methyl[26]	$10/۴۱$	$11/۶۲$	
azocalix[4]pyrrole-Amberlite XAD-2[30]	$11/۰۵$	$8/۹۸$	
مطالعه حاضر			
DEHPA-Amberlite XAD-7	$5/۲۳$	$8/۲۸$	

1. Van't Hoff Equation

2. Standard Enthalpy

Journal of Nuclear Science and Technology

Vol. 100, No 3, 2022, P 103-113



بالا رفتن میزان بینظمی در لایه مرزی جامد و محلول است [۲۳، ۱۹].

۸.۳ بررسی بازیابی رزین XAD-۷ آغشته شده به استخراج کننده DEHPA

قابلیت بازیابی جاذب از عوامل مهم در انتخاب جاذب و همچنین فرایند جذب می‌باشد. چنان‌چه پس از فرایند جذب، امکان بازیابی جاذب وجود نداشته باشد، خود جاذب می‌تواند یک آلاینده محیط زیستی اطلاق شود. بازیابی جاذب به معنای توانایی عملکرد آن در چندین مرحله، تماس با گونه‌های جذب‌شونده است پس از انجام آزمایش‌های جذب به منظور استفاده مجدد از رزین مورد استفاده، آن‌ها را با استفاده از نیتریک اسید با غلظت ۰/۱ مولار شستشو داده تا رزین فلزات لانتانیم و سریم را آراد نماید و دوباره قابل استفاده گردد. برای این کار رزین‌های مورد استفاده را با استفاده از ۱۰ میلی‌لیتر از نیتریک اسید با غلظت ۰/۱ مولار به مدت ۲۴ ساعت تماس داده و پس از آن رزین با استفاده از کاغذ صافی جدا می‌گردد و با آب مقطر شستشو داده شده و در دمای محیط قرار می‌گیرد تا خشک گردد و قابل استفاده مجدد باشد. نتایج به دست آمده از فرایند جذب و واجذب بیان‌گر این است که رزین DEHPA + XAD-۷ آغشته شده به استخراج کننده Amberlite XAD-۷ برای ۵ سیکل درصد بازیافت بالاتر از ۹۵٪ را دارد. با در نظر گرفتن این نکته که بارورسازی خلل و فرج‌های بزرگ در رزین‌های دارای تخلل بالا، منجر به قرار گرفتن استخراج کننده در منافذ و ناحیه‌های ژل دانه‌های پلیمری رزین می‌گردد، ذره‌های استخراج کننده که در نواحی ژل ماتریس قرار می‌گیرند، پایداری بسیار بالایی دارند به همین دلیل برای یک دوره طولانی ثابت می‌مانند. در شکل ۶ نتایج حاصل از واجذب یون‌های فلزات سریم و لانتانیم با استفاده از نیتریک اسید ۰/۱ مولار برای ۵ مرحله تکرار آمده است.

به طوری که مقادیر $\Delta G^\circ = -400 \text{ Jmol}^{-1}$ نشان‌دهنده جذب شیمیایی و مقادیر $\Delta H^\circ = -80 \text{ KJmol}^{-1}$ نشان‌دهنده جذب فیزیکی می‌باشد. همچنین مقادیر بین $-20 \text{ Ta} - 80 \text{ KJmol}^{-1}$ بر مول ترکیبی از جذب فیزیکی و شیمیایی است. تغییرات آنتالپی یک فرایند با استفاده از گرماده و گرمائیگر آن تشخیص داده می‌شود، طبق مقدار $\Delta H^\circ = 80 \text{ KJmol}^{-1}$ چنان‌چه فرایند گرمائیگر باشد [۳۱].

با رسم نمودار Lnk_c بر حسب $T/1$ و با استفاده از معادلات (۱۶) و (۱۷) پارامترهای ترمودینامیکی برای جذب یون‌های لانتانیم و سریم با استفاده از رزین بارور شده به دست آمد. نتایج در جدول ۶ آمده است. مقدار مثبت آنتالپی برای جذب فلزات لانتانیم و سریم توسط این رزین نشان‌دهنده گرمائیگر بودن واکنش‌های جذب می‌باشد. با توجه به مقادیر آنتالپی برای فرایند جذب فلزات مذکور توسط رزین مذکور این نکته قابل دست‌یابی است که فرایند جذب با استفاده از رزین آغشته شده به استخراج کننده گرمائیگر می‌باشد. همچنین طبق مقادیر آنتالپی حاصل شده برای فرایند جذب این فلزات توسط رزین می‌باشد می‌توان نتیجه گرفته که فرایند جذب این فلزات توسط رزین XAD-۷ Amberlite آغشته شده به استخراج کننده DEHPA جذب فیزیکی است.

با توجه به منفی بودن مقدار انرژی آزاد گیبس برای جذب این فلزات با استفاده از رزین بارور شده رزین نشان‌دهنده خودبه‌خودی بودن فرایندهای جذب است. مقادیر تغییرات انرژی آزاد گیبس برای جذب فلزات توسط هر دو رزین در همه‌ی دماها منفی می‌باشد و با افزایش دماها کاهش می‌یابند که این موضوع بیان‌گر تمایل بالای جذب فلزات مذکور توسط این رزین‌ها و همچنین نشان‌دهنده این موضوع است که فرایند جذب در دماهای بالاتر راحت‌تر انجام می‌شود. میزان تغییرات آنتروپی در فرایند جذب لانتانیم و سریم با استفاده از رزین XAD-۷ + DEHPA مقداری مثبت به دست آمد که بیان‌گر

جدول ۶. مقادیر پارامترهای ترمودینامیکی جذب عناصر سریم و لانتانیم با استفاده از رزین XAD-۷ آغشته شده به DEHPA

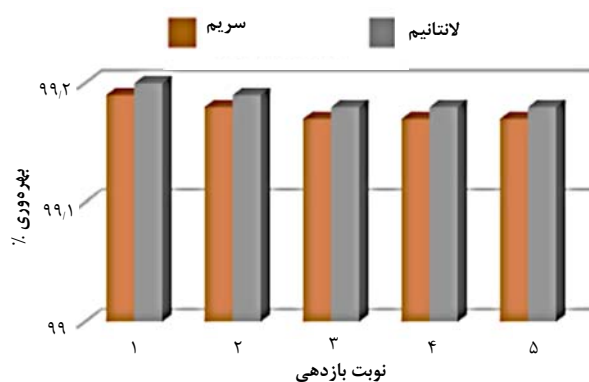
	$\Delta G^\circ (\text{KJmol}^{-1})$	$\Delta S (\text{Jmol}^{-1}\text{K}^{-1})$	$\Delta H^\circ (\text{KJmol}^{-1})$	پارامتر
				دما ($^{\circ}\text{K}$)
۳۲۸	۳۱۸	۳۰۸	۲۹۸	
-۱,۷۷۹	-۰,۳۹۱	-۱,۰۰۳	-۰,۶۱۴	سریم
-۱,۲۰۲	-۰,۹۰۴	-۰,۶۰۵	-۰,۳۰۶	لانتانیم



حذف دو عنصر سریم و لانتانیم اقتصادی و بسیار کارآمد می باشد.

مراجع

1. F. Sadri, A.M. Nazari, A. Ghareman, *A review on the Cracking, baking and Leaching processes of rare earth element concentrates*, *J. Rare Earths*, **35**(8), 739-752 (2017).
2. N. Zari, *Chemistry and Chemical Engineering Research center of Iran, M. Sc. Thesis*, (2016) (In Persian).
3. T.R. Rao, V.M.N. Biju, *Trace determination of lanthanides in metallurgical environment and geological samples*, *Crit. Rev. Chem.*, **30**, 179 (2000).
4. R. Torkaman, et al, *Synergistic extraction of gadolinium from nitrate media by mixtures of bis (2,4,4-trimethyl pentyl) dithiophosphinic acid and di-(2-ethylhexyl) phosphoric acid*, *J. Ann. Nucl. Energy*, **62**, 284-290 (2013).
5. S. Nishihama, K. Kohata, K. Yoshizuka, *Separation of lanthanum and cerium using a coated solvent impregnated resin*, *J. Sep. Purify. Technol*, **118**, 511-518 (2013).
6. C. Araneda, et al, *Removal of metal ions from aqueous solvents by sorption onto microcapsules prepared by copolymerization of ethylene glycol dimethacrylate with styrene*, *J. Sep. Purify. Technol*, **63**, 517-523 (2008).
7. N. Kabay, et al, *Solvent -impregnated resins(SIRs) Methods of preparation and their applications*, *J. React. Funct. Polym*, **70**(8), 484-496 (2013).
8. E.A. EL-Sofany, *Removal of lanthanum and gadolinium from nitrate medium using Aliquat-336 impregnated on to Amberlite XAD-4*, *J. Hazard Matter*, **153**(3), 948-954 (2008).
9. S. Inan, et al, *Extraction and separation studies of rare earth elements using cyanex 272 impregnated Amberlite XAD-7 resin*, *J. Hydrometallurgy*, **(56)**, 14-27 (2018).
10. A. Rahmati, A. Ghaemi, M. Samad Fam, *Kinetic and thermodynamic Studies of Uranium adsorption using Amberlite IRA-910 resin*, *J. Ann. Nucl. Engy*, **(39)**, 42-48 (2012).
11. V.K. Jain, A. Hand, R. Pandya, *Polymer supported calix[4] arene-semicarbazone derivative for separation and preconcentration of La(III), Ce(III), Th(IV) and U(VI)*, *J. React. Funct. Polym*, **(51)**, 101-110 (2002).
12. H. Bendiaf, O. Abderrahim, D. Villemain, *Studies on the feasibility of using a novel phosphonate resin for the separation of U(VI), La(III), Ce(III) and Pr(III) from aqueous solution*, *J. Radioanal. Nucl. Chem*, (2017).
13. F. Xie, et al, *A critical review on solvent extraction of rare earths from aqueous solutions*, *J. Miner. Eng*, **56**, 10-28 (2014).



شکل ۶. نتایج حاصل از فرایند واجدب رزین ۷ آگشته شده به استخراج کننده DEHPA در ۵ مرحله متواالی.

۴. نتیجه گیری

در این پژوهش فرایند آگشته سازی رزین ۷ آگشته شده به استخراج کننده DEHPA انجام شد. آنالیزهای FTIR و SEM برای بررسی ساختار و شکل رزین قبل و بعد از آگشته سازی توسط استخراج کننده برای تأیید فرایند آگشته سازی انجام شد. آزمایش های ناپیوسته، سریم و لانتانیم نشان داد که ظرفیت و درصد جذب رزین با استفاده از رزین مذکور تابعی از مقدار گرم رزین، زمان تماس بین دو محلول و رزین، pH محیط، دما و غلظت اولیه محلول یون های فلزی در طی فرایند جذب می باشد. زمان تماس مناسب برای هر دو فلز برابر ۱۸۰ دقیقه و pH بهینه برابر ۶ گزارش شد. بررسی سینتیک جذب نشان داد که برای جذب هر دو عنصر، واکنش شیمیایی و نفوذ به مراکز داخلی جاذب (نفوذ داخلی) هر دو مرحله کنترل - کننده سرعت واکنش می باشند. مدل سازی همدمای جذب نشان داد که مدل لانگمویر برای برازش داده های تعادلی هر دو عنصر مدل بهتری می باشد. مقادیر انرژی آزاد جذب بیان گر جذب فیزیکی سریم و لانتانیم است. مقادیر مثبت تغییرات آنتالپی نشان دهنده گرمایش بودن فرایند جذب هر دو فلز سریم و لانتانیم با استفاده از رزین آگشته شده می باشد. منفی بودن مقدار انرژی آزاد گیبس برای جذب این فلزات با استفاده از هر رزین بارور شده رزین نشان دهنده خودبه خودی بودن فرایند جذب است [۳۲].

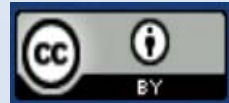
میزان تغییرات آنتروپی در فرایند جذب لانتانیم و سریم با استفاده از رزین XAD-7 + DEHPA همگی مقداری مثبت به دست آمد که بیان گر بالا رفتن میزان بین نظمی در لایه مرزی جامد و محلول است. بیشترین ظرفیت جذب این رزین طبق مدل لانگمویر برای هر دو فلز سریم و لانتانیم به ترتیب برابر ۸/۲۸ و ۵/۵۲ میلی گرم بر لیتر می باشد. با توجه به درصد بالای جذب فلزات و قابلیت جاذب، پس از ۵ بار استفاده و بازیابی مجدد، می توان نتیجه گرفت که این رزین آگشته شده، برای



14. K.A. Rabie, *A group separation and purifications of Sm, Eu, Gd, from Egyptian beach monazite Mineral using solvent exractcion*, *J. Hdrometallurgy*, **85**, 81-86 (2007).
15. R.S. Juong, H.C. Lin, *Metal sorption with extractant- impregnated Macroporous resins. 1. Particle diffusion kinetics*, *J. Chem. Tech. Bio. Technol.*, **62**, 132-140 (1955).
16. R.S. Juong, M.L. Chen, *Competitive sorption of Metal ions from binary sulfate solution with solvent- impregnated resins*, *J. React. Funct. Polym.*, **34**, 93-102 (1997).
17. S. Sert, et al, *Investigation of sorption behavior of La, Pr, Nd, Sm, Eu, and Gd on D2EHPA- impregnated XAD7 resin in nitric acid medium*, *J. Sep. Sci.*, **25**, 145-155 (2019).
18. F. Soleymani, *M. Sc. Thesis.*, Tarbiat Modares University, (2015) (In Persian).
19. S. Abbasi Zadeh, A.R. Keshtkar, M.A. Mossavian, *Investigation of effective parameters on Thorium adsorption by nanohybrid adsorbent of polyvinyl alcohol/ titanium oxide functionalized with amine groups*, *J. Nucl. Sci. Tech.*, **71**, 1-14 (2015).
20. R. Singh, et al., *Biosorption optimization of lead, cadmium and copper using response surface methodology and applicability in isotherms and thermodynamics modeling*, *J. Hazard. Mater.*, **174**, 623-634 (2010).
21. E. Alonso, et al., *Evaluating rare earth element availability: a case with revolutionary demand from clean technologies*, *Environmental Science & Technology*, **6**, 3406-3114 (2012).
22. D. Guyonnet, et al., *Material flow analysis applied to rare earths elements in Europe*, *J. Clean. Produ.*, **5**, 655-663 (2015).
23. F. Ardestani, *M. Sc. Thesis*, Semnan University, (2015) (In persian).
24. V. Jain, et al., *Solid-phase extractive preconcentration and separation of lanthanum (III) and cerium (III) using a polymer-supported chelating calix [4] arene resin*, *J. Anal. Chem.*, **62**, 104-112 (2007).
25. A. Jordens, Y.P. Cheng, K.E. Waters, *A review of the beneficantion of miner*, *J. Eng. Rep.*, **41**, 97-114 (2013).
26. Z.H.U. Lili, C.H.E.N. Ji, *Adsorption of Ce in nitric acid medium by imidazolium anion exchange resin*, *J. Rare. Earths.*, **29**, 969-973 (2011).
27. F. Habashi, *Hand book of Extractive Metallurgy*, Vol. 3. 99. (WILEY-VCH. New York, 1997).
28. N.V. Thakur, *Separation of Rare earths by Solvent Extraction Mineral processing and Extractive Review*, *J. Rare. Earths.*, **21**, 227-306 (2000).
29. S.S. Dubey, B.S. Rao, *Removal of cerium ion from aqueous solution by hydrous ferric oxide-A radiator study*, *J. Hazard. Mater.*, **186**, 1028-1032 (2011).
30. H.S. Gupte, et al., *Azo resorcin [4] calixpyrrole grafted Amberlite XAD-2 polymer, an efficient solid phase extractant for separation and preconcentration of La (III) and Ce (III) from natural geological samples*, *J. Incl. Phenom. Macrocycl. Chem.*, **81**, 409-422 (2015).
31. D. Baybas, U. Ulusoy, *The use of Polyacrylamide-aluminosilicate composites for Thorium adsorptio*, *J. Appl. Clay. Sci.*, **51**, 138-146 (2011).
32. A. Rahmati, A. Ghaemi, M. Samad Fam, *Kinetic and thermodynamic Studies of Urainium adsorption using Amberlite IRA-910 resin*, *J. Annu. Nucle. Eng.*, **39**, 42-48 (2012).

COPYRIGHTS

©2021 The author(s). This is an open access article distributed under the terms of the Creative Commons Attribution (CC BY 4.0), which permits unrestricted use, distribution, and reproduction in any medium, as long as the original authors and source are cited. No permission is required from the authors or the publishers.



استناد به این مقاله

آزاده یاراحمدی، مسعود نصیری زرندی، محمدحسن خانی (۱۴۰۱)، بررسی پارامترهای مؤثر بر فرایند جذب لانتانیم و سریم از محلول‌های آبی توسط رزین تبدل یون DEHPA-۷ آغشته شده با استخراج‌کننده Amberlite XAD-۷

DOR: [20.1001.1.17351871.1401.43.2.12.7](https://doi.org/10.1001.1.17351871.1401.43.2.12.7)Url: https://jonsat.nstri.ir/article_1389.html